

## Monolithisch Integrierte Schaltung Monolithic Integrated Circuit

**Anwendung:** Fernsehsender-Identifikations-Schaltung zur Erzeugung eines Stop-Signals für Sendersuchlauf-Konzepte und zur automatischen Tonabschalt-Steuerung bei Empfang von Sendern ohne Fernsehmodulation

**Application:** Television transmission identification circuit for generating a stop signal for automatic tuning systems, automatic muting at reception of non TV-signals

**Besondere Merkmale:**

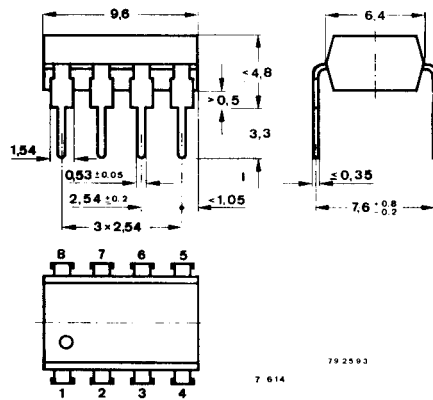
- Digitale Unterscheidung von Sendern mit und ohne Fernsehmodulation
- Geeignet für positiven oder negativen Zeilenrücklaufimpulse
- Ausgabe eines digitalen Steuersignals

**Features:**

- Digital differentiation of transmitter signals with or without modulation
- Suitable for positive or negative flyback pulse
- Digital control signal output

**Vorläufige technische Daten · Preliminary specifications**

**Abmessungen in mm  
Dimensions in mm**



Normgehäuse  
Case

20 A 8 DIN 41 866

DIP 8-polig

Gewicht · Weight  
max. 0,8 g

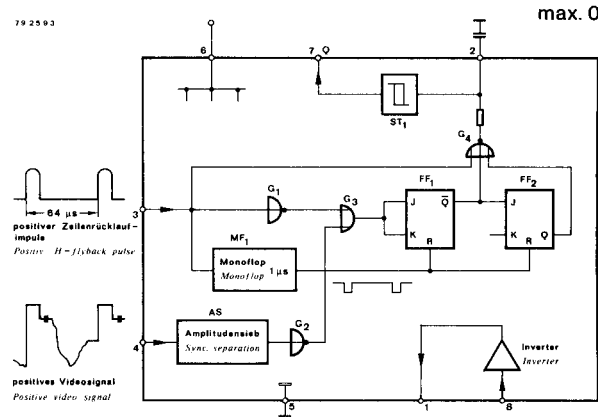


Fig. 1 Blockschaltbild  
Block diagram

S 8/V.2.700/0279A1

## Schaltungsbeschreibung

Die Sendererkennungsschaltung ermöglicht es, während der Zeitdauer des Zeilenrückschlagimpulses Verläufe des Videosignals, die positiver als die Schwarzscherer sind, zu erkennen. Die Anzahl der dabei festgestellten negativen Flanken wird gezählt und zwischen einer, bzw. null, zwei oder mehr als zwei, unterschieden. Am internen Ausgang  $Q_A$  wird das Ergebnis wie folgt wiedergegeben:

- eine negative Flanke = L-Pegel
- keine Flanke, zwei oder mehr negative Flanken = H-Pegel

Mit dieser Anordnung ist es möglich einen Fernsehsender (eine Flanke) vom Rauschen (zwei oder mehr) und von einem andersartigen Sender z. B. Tonsender (keine Flanke) zu unterscheiden. Die Identifikationsschaltung beinhaltet eine Trennstufe, die die Synchronisierimpulse oberhalb der Schwarzscherer des Videosignals abschneidet (Amplitudensieb).

Die abgetrennten Videoimpulse werden im Gatter mit dem Zeilenrückschlagimpuls so verglichen, daß nur während der Zeilenrücklaufimpulsdauer vorhandene negative Flanken als Zählimpulse am Flipflop wirksam werden.

Dabei wird ein, den Zeilenrücklaufimpuls überlappender, Videoimpuls (z. B. Bildwechselimpuls) mit Ende des Zeilenrücklaufimpulses abgebrochen und die dadurch vorgezogene Rückflanke ebenfalls als Zählimpuls erkannt.

Der am Gatter  $G_3$  gebildete Impuls wird einem aus den Flipflops  $FF_1$  und  $FF_2$  gebildeten Zähler zugeleitet. Um einen definierten Ausgangszählerstand zu erhalten, löst der Beginn des Zeilenrücklaufimpulses ein nicht rückgekoppeltes Monoflop  $MF_1$  mit einer Impulszeit von ca. 1  $\mu s$  aus womit  $FF_1$  und  $FF_2$  zurückgestellt werden. Das Zählfifflop  $FF_2$  ist auf nur eine L-H-Flanke wirksam. Alle weiteren Impulse werden ignoriert. Über  $G_4$  wird der Zählerstand ausgewertet, zwischen zwei Zeilenrücklaufimpulsen.

Das Signal an  $G_4$  wird einem Schmitt-Trigger  $ST_1$  über ein Integrationsglied zugeführt. Die Zeitkonstante des Integrationsgliedes beträgt ca. 1,8 ms. Die Schwelle des  $ST_1$  und die Zeitkonstante sind so dimensioniert, daß empfangene Signale einerseits im Übergangsbereich zwischen Rauschen und stehendem Bild noch nicht ausgewertet werden und daß andererseits Unterbrechungen für eine Dauer von 12 Zeilen überbrückt werden (0,8 ms). Die genannte Zeitkonstante bewirkt beim Wechsel von Rauschen auf ein rauschfreies Signal eine Identifikationsverzögerung von 2,5 ms.

## Circuit description

During the flyback pulse the identification circuitry is detecting pulses which are more positive than the video black level.

Thereby the number of negative transients is counted and the results are distinguished between such of one, zero and two (or more than two) negative transients. At the internal output  $Q_A$  the result of the counter correlates as follows:

- one negative transient = L level
- zero, two or more than two negative transients = H level

This arrangement enables to separate a TV signal (= one negative transient) from noise (two or more than two negative transients) and from non-TV-carrier signals (zero negative transient).

The identifier block is detailed into a sync. pulse separator which detects voltage levels above the video black level.

Gate compares these sync. pulses with the line flyback pulse in a way, that only the negative transients during flyback are affecting flipflop for counting.

Sync. pulses which are overlapping the duration of the flyback pulse (f.i.. frame pulses) are automatically interrupted by the end of the flyback and the premature negative transient is recognized as a counting pulse.

The output pulse from gate  $G_3$  is fed into the counter built of the  $FF_1$  and  $FF_2$ . To obtain a defined initial position the start of the flyback pulse is triggering the non feedback monoflop  $MF_1$ , which delivers a 1  $\mu s$  pulse to reset the  $FF_1$  and  $FF_2$ .

The counting flipflop  $FF_2$  operates only one single L-H transient, all additional are ignored. By  $G_4$  the counter result is analyzed during the break before Schmitt Trigger  $ST_1$ . The threshold of the  $ST_1$  The output signal from  $G_4$  is fed via an integration circuit with a time constant of 1.8 ms into a Schmitt

and the time constant of the pulse integrator are dimensioned in a way that on one side TV signals within the intermediate range between unsynchronized and synchronized TV picture are cancelled and on the other side interruptions for 12 lines (0.8 ms) are bridged over. At a change from noise to correct TV signal the above mentioned time constant causes an identification response after 2.5 ms.

**Absolute Grenzdaten****Absolute maximum ratings**

Bezugspunkt <i>Reference point</i>	Pin 5 an Masse, 0 V grounded, 0 V				
Versorgungsspannungsbereich <i>Supply voltage range</i>	Pin 6	$U_S$	-0,3...+16		V
Ausgangsstrom <i>Output current</i>	Pin 7	$\pm I_Q$	3		mA
Eingangsspannungen <i>Input voltages</i>	Pin 4 Pin 8	$U_I$ $U_I$	-5...+6 -0,3...+16		V V
Eingangsstrom <i>Input current</i>	Pin 3 Pin 8	$\pm I_I$ $I_I$	2 5		mA mA
Verlustleistung <i>Power dissipation</i>					
$t_{amb} = 70^\circ\text{C}$		$P_{tot}$	440		mW
Sperrsichttemperatur <i>Junction temperature</i>		$t_j$	125		°C
Umgebungstemperaturbereich <i>Ambient temperature range</i>		$t_{amb}$	0...+70		°C
Lagerungstemperaturbereich <i>Storage temperature range</i>		$t_{stg}$	-25...+125		°C

**Elektrische Kenngrößen****Electrical characteristics**

$U_S = 14,2\ldots 15,8 \text{ V}$ , $t_{amb} = 25^\circ\text{C}$ , Bezugspunkt Pin 5, falls nicht anders angegeben <i>Reference point Pin 5, unless otherwise specified</i>					
Versorgungsspannungsbereich <i>Supply voltage range</i>	Pin 6	$U_S$	14,2	15,0	15,8
Versorgungsstrom <i>Supply current</i>	Pin 6	$I_S$		10	18
Video-Eingang <i>Video input</i>	Pin 4				
Positiver Synchronimpuls <i>Positive going sync. pulse</i>		$U_i$	2,5	4,5	$V_{pp}$
Synchronimpulsamplitude über Schwarzwertpegel <i>Sync. pulse amplitude above black level</i>		$U_i$	0,52		V
Eingangswiderstand <i>Input resistance</i>		$R_I$		15	kΩ
Zeilenrücklauf-Impulseingang <i>Input line flyback pulse</i>	Pin 3				
Positiver Eingangsimpuls <i>Positive input pulse</i>		$I_i$	0,4	1,4	mA
Abschaltschwelle <i>Switch OFF-threshold</i>		$U_I$		1	V

# TDA 4432

			Min.	Typ.	Max.
Eingangswiderstand <i>Input resistance</i>		$R_I$		10	kΩ
Rücklaufimpulsdauer <i>Duration of the flyback pulse</i>		$t_p$	10	17	μs
Inverter für negative Zeilenrücklaufimpulse <i>Inverter for negative line flyback pulses</i>					
Eingangsstrom <i>Input current</i>	Pin 8	$I_I$	20		μA
Eingangsspannung <i>Input voltage</i>	Pin 8	$U_I$	-5,6	+0,4	V
Ausgangsspannung <i>Output voltage</i>	Pin 1	$U_{QL}$ $U_{QH}$	6	0,3	V
Zeitdifferenz zwischen den Anstiegsflanken des Zeilenrücklauf- und des Video-Synchron- impulses <i>Time difference between the leading edges of the flyback and the video sync. pulses</i>		$t_{If} - T_{Is}$	0	3,5	μs
Steuerausgang <i>Control output</i>					
Ausgangsspannung bei korrektem FS-Signal <i>Output voltage at correct TV-signal</i>	Pin 7	$U_Q$		0,4	V
$I_Q = 1,6 \text{ mA}$					
Sperrstrom ohne FS-Signal <i>Reverse current without TV-signal</i>	Pin 7	$I_{QR}$		10	μA
$U_Q = 15,8 \text{ V}$					

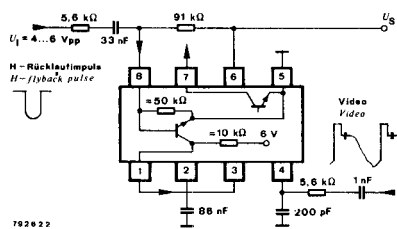


Fig. 2 Meßschaltung und Anwendungsbeispiel  
*Test circuit and application note*